

# شبکه نیمه‌ناظر خودسازمانده پویا مبتنی بر یادگیری حداقلی

علی مهریزی، هادی صدوقی یزدی و سیدجواد سیدمهدوی چابک

یادگیری منطبق با دامنه مسئله دارند، الگوریتم‌های یادگیری نیمه‌ناظر می‌گویند [۱].

از دیدگاه کار این مقاله، روش‌های نیمه‌ناظر را می‌توان به دو دسته تقسیم کرد: الف) روش‌های نیمه‌ناظری که در راستای بهبود خوشبندی داده‌ها ایجاد شده‌اند و ب) روش‌های نیمه‌ناظری که از خوشبندی نیمه‌ناظر برای طبقه‌بندی داده‌ها استفاده می‌کنند. در ادامه به نمونه‌هایی از هر کدام از این روش‌ها اشاره می‌شود.

## الف- روش‌های نیمه‌ناظر بهبوددهنده خوشبندی

ماکاریو<sup>۸</sup> و همکارانش در [۲] یک الگوریتم نیمه‌ناظر مبتنی بر الگوریتم FCM<sup>۹</sup> ارائه کردند. ایده اصلی این مقاله، خوشبندی نیمه‌ناظر با استفاده از مزیت برچسب قطعی برخی از داده‌ها است. الگوریتم پیشنهادی این مقاله، یک جمله<sup>۱۰</sup> با ناظر به تابع اصلی الگوریتم FCM اضافه می‌کند. بنابراین در صورتی که متعلق به یک کلاس باشد، تفاوت بین درجه عضویت آن به خوش کم می‌شود. این رویکرد باعث می‌شود درجه عضویت نمونه‌هایی که دارای کلاس مشابه هستند در همه خوشبندی ثابت باقی بماند. در این مقاله یک راه حل وفقی برای بهبود دقت الگوریتم خوشبندی ارائه شده و برای جلوگیری از رشد بدون کنترل خوش، می‌توان از ماتریس ضربی حجم خوش استفاده نمود.

اولین الگوریتم خوشبندی مقید برخط توسط هالکیدی<sup>۱۱</sup> و همکارانش در [۳] ارائه گردید. مسئله‌ای که این مقاله به آن می‌پردازد پیدا کردن خوشبندی متراکم و دور از هم است در شرایطی که قیود داده شده داده‌ها به صورت جریانی به الگوریتم وارد شود. الگوریتم هالکیدی بر پایه الگوریتم خوشبندی MPCK-Means<sup>۱۲</sup> پایه‌گذاری شده است. الگوریتم MPCK-Means یک الگوریتم برونو خط است و در محیط‌های برخط نمی‌تواند مورد استفاده قرار گیرد. به همین دلیل هالکیدی و همکارانش روند ورود داده‌ها به الگوریتم را به صورت تکه‌هایی<sup>۱۳</sup> از مجموعه کل داده‌ها در نظر گرفتند که به مرور زمان در اختیار الگوریتم قرار می‌گیرد. طبق روش ارائه شده توسط این مقاله عملیات خوشبندی بر روی داده‌های موجود در این تکه‌ها توسط الگوریتم MPCK-Means انجام می‌شود. در روند اجرای این الگوریتم، داده‌ها به صورت یکی‌یکی به خوشبندی اختصاص می‌یابند. در فرایند خوشبندی، در تکه وارد شده، داده‌هایی که به تازگی وارد سیستم شده‌اند نسبت به داده‌های قدیمی اهمیت بیشتری دارند. الگوریتم هالکیدی داده‌های ورودی را به صورت تکه‌هایی در نظر می‌گیرد و سپس عملیات خوشبندی را به صورت برونو خط و توسط الگوریتم MPCK-Means انجام می‌دهد. همچنین از این روش می‌توان جهت کاهش هزینه محاسباتی حافظه استفاده کرد.

8. Macario

9. Fuzzy C-Means

10. Term

11. Halkidi

12. Metric Pairwise Constrained K-Means

13. Chunk

چکیده: شبکه خودسازمانده پویا با یادگیری نیمه‌ناظر در بسیاری از کاربردها نظیر خوشبندی داده‌ها کاربرد دارد. محاسبه پارامترهای شبکه خودسازمانده شامل شکل و ساختار لایه خوشبندی، سطح فعل سازی و وزن‌های لایه طبقه‌بندی از جمله مسائل چالش برانگیز و مهم آن است. راهکارهای ارائه شده فعلی از روش‌های ابتکاری و با یک نگاه محلی سعی در تعیین این پارامترها دارند که در اثر آن، نتایج این الگوریتم‌ها وابستگی بالایی به شرایط دارد. این مقاله یک روش یادگیری نیمه‌ناظر مبتنی بر شبکه خودسازمانده پویا و یادگیری حداقلی را برای اولین بار مورد بررسی قرار می‌دهد. روش پیشنهادی، بدون محاسبه مستقیم پارامترهای شبکه خودسازمانده پویا و با استفاده از روش یادگیری حداقلی، کلاس هر داده را تعیین می‌کند. خطای حاصل از بازخورد سیستم، هم در یادگیری حداقلی و هم در بهینه‌سازی شبکه خودسازمانده پویا مورد استفاده قرار می‌گیرد. در این مقاله، علاوه بر بررسی تحلیلی همگرایی روش پیشنهادی، روش حداقلی ترتیبی برای شبکه نیمه‌ناظر خودسازمانده پویا ارائه شده است. آزمایش‌های انجام‌شده بر روی داده‌های برخط و با برچسب جزئی نشان می‌دهند که روش پیشنهادی از نظر دقت، نسبت به روش نیمه‌ناظر خودسازمانده پویا برتری نسبی دارد.

**کلید واژه:** یادگیری نیمه‌ناظر، شبکه‌های خودسازمانده پویا، یادگیری حداقلی، یادگیری برخط.

## ۱- مقدمه

در مسائل موجود در دنیای واقعی با داده‌هایی سروکار داریم که بدون برچسب<sup>۱</sup> و حجمی هستند، به صورت برخط<sup>۲</sup> و جریانی<sup>۳</sup> به سیستم وارد می‌شوند، ساختار غیر خطی دارند و لازم است سیستم در زمان کوتاه به آنها پاسخ دهد. در حالت معمول برای استخراج داشش از چنین داده‌هایی از روش‌های خوشبندی بدون ناظر استفاده می‌شود اما چنانچه تعداد معددی از این داده‌ها دارای اطلاعات اضافی همچون برچسب قطعی، فاصله‌هایی<sup>۴</sup>، قیود<sup>۵</sup> یا ارتباطات<sup>۶</sup> بین آنها باشند، می‌توان از روش‌های طبقه‌بندی با ناظر و یا روش‌های نیمه‌ناظر<sup>۷</sup> برای یادگیری استفاده کرد. به مجموعه الگوریتم‌هایی که با استفاده از اطلاعات اضافی موجود در داده‌ها،

این مقاله در تاریخ ۱۹ آذر ماه ۱۳۹۲ دریافت و در تاریخ ۱۹ آبان ماه ۱۳۹۳ بازنگری شد.

علی مهریزی، گروه کامپیوتر، دانشگاه آزاد اسلامی، واحد مشهد، مشهد، (email: mehrizi@staff.um.ac.ir)

هادی صدوقی یزدی، گروه کامپیوتر، دانشگاه فردوسی مشهد، مشهد، (email: h-sadoghi@um.ac.ir)

سیدجواد سیدمهدوی چابک، گروه کامپیوتر، دانشگاه آزاد اسلامی، واحد مشهد، مشهد، (email: mahdavi@mshdiau.ac.ir)

1. Label

2. Online

3. Stream

4. Relative Distance

5. Constrain

6. Connection

7. Semi-Supervised

جدول ۱: خلاصه الگوریتم‌های نیمه‌ناظر.

مشکلات حل نشده	مزایا	نوع الگوریتم نیمه‌ناظر	روش ارائه شده
برای داده‌های برخط مناسب نیست کندی سرعت- عدم بهبود خوشبندی با استفاده از بازخورد داده‌های برچسبدار دریافت داده به صورت تکه‌تکه کندی سرعت ناشی از ایجاد درخت تصمیم برای داده‌های برخط مناسب نیست- کندی سرعت ناشی از روش همکارانه	نیمه‌ناظر- خوشبندی فازی- فاصله تطبیقی نیمه‌ناظر- فازی- پایداری در مقابل انواع داده نیمه‌ناظر- داده‌های مقید نیمه‌ناظر- یادگیری متربیک نیمه‌ناظر- نیمه‌ناظر- یادگیری حداکثری همکارانه نیمه‌ناظر- برخط- مبتنی به GSOM	بهبود خوشبندی طبقه‌بندی داده‌ها بهبود خوشبندی داده‌ها طبقه‌بندی داده‌ها طبقه‌بندی داده‌ها طبقه‌بندی داده‌ها طبقه‌بندی داده‌ها	ماکاریو و همکاران لیتی و همکاران هالکبدی و همکاران کونگ و همکاران فرید و همکاران لی و همکاران اچسو و همکاران
تعیین پارامترهای شبکه GSOM به صورت ابتکاری مشکل داده‌های کم و پارامترهای تصادفی	بهبود خوشبندی با استفاده از بازخورد داده‌های برچسبدار برخط- مبتنی به GSOM- بهبود خوشبندی با استفاده از بازخورد داده‌های برچسبدار- سرعت اجرای بالا- مستقل از تعیین GSOM پارامترهای شبکه	بهبود خوشبندی- طبقه‌بندی داده‌ها بهبود خوشبندی- طبقه‌بندی داده‌ها	روش پیشنهادی مقاله

کار ابتدا به هر داده در مرحله یادگیری یک وزن تصادفی داده می‌شود و سپس برای این داده‌های درخت تصمیم ساخته می‌شود. بر اساس داده‌های آموزشی وزن‌های اختصاص داده شده اصلاح می‌شود. در [۷] که توسط لی<sup>۷</sup> و همکارانش معرفی گردیده است، از یادگیری حدکثری و ترکیب آن با یادگیری همکارانه جهت ارائه یک الگوریتم نیمه‌ناظر استفاده شده است. ایده اصلی یادگیری همکارانه بین صورت است که ابتدا دو یادگیرنده به طور جداگانه با استفاده از داده‌های برچسبدار آموزش می‌بینند. سپس پیش‌بینی داده‌های بدون برچسب هر یادگیرنده جهت افزایش مجموعه داده‌های آموزشی یادگیرنده دیگر در اختیار او قرار می‌گیرد. نقطه ضعف یادگیری همکارانه این است که به دلیل وجود حلقه در پروسه یادگیری هم سرعت یادگیری کاهش می‌یابد و هم خطای مرحله یادگیری به سایرین منتشر می‌شود. برای برطرف کردن مشکلات روش یادگیری همکارانه در این مقاله پیشنهاد شده که از روش یادگیری حدکثری که یک روش با ناظر سریع و با دقت بالاست برای یادگیری یادگیرنده‌های روش یادگیری همکارانه استفاده شود.

در [۸] یک الگوریتم نیمه‌ناظر مبتنی بر شبکه خودسازمانده پویا توسط اچسو<sup>۸</sup> و همکارانش ارائه گردیده است. در این الگوریتم از یک مدل دولایه برای طبقه‌بندی داده‌های برخط و با برچسب جزئی استفاده شده است. در لایه اول این مدل از شبکه‌های خودسازمانده پویا برای خوشبندی داده‌ها استفاده شده و هر گاه داده برچسبداری وارد سیستم شد، از برچسب داده برای طبقه‌بندی داده‌ها استفاده می‌شود. در این روش همانند الگوریتم‌های خوشبندی K-Mیانگین<sup>۹</sup> یا C-Mیانگین فازی یک عملیات تکراری وجود دارد. با این تفاوت که در هر تکرار، تنها یک داده به صورت تصادفی انتخاب و وارد شبکه می‌شود. به عبارت دیگر این الگوریتم به طور ذاتی برخط است.

### جمع‌بندی مقدمه

جدول ۱ خلاصه روش‌های نیمه‌ناظر معرفی شده را نشان می‌دهد. در این جدول علاوه بر نوع الگوریتم، مزایا و مشکلات حل نشده هر الگوریتم

### ب- روش‌های نیمه‌ناظر طبقه‌بندی کننده داده‌ها

لیتی<sup>۱</sup> و همکارانش در [۴] بیان می‌کنند که در محیط‌های غیر ثابت، ویژگی و توزیع اصلی داده‌ها با زمان تغییر می‌کند. در اصطلاحات یادگیری ماشین به این اتفاق رانش مفهوم<sup>۲</sup> گفته می‌شود. برای مثال در طبقه‌بندی داده‌ها، مفهوم، همان کلاس داده‌ها یا همان مز بین داده‌هast و رانش همان تغییرات مز داده در طول زمان است. رانش می‌تواند تدریجی یا ناگهانی (تغییر مفهوم)، قراردادی یا گسترشی، قطعی یا تصادفی یا دوره‌ای باشد. نیاز اصلی یادگیری برخط شناسایی و مقابله با رانش داده است [۴]. روش دانه‌ای<sup>۳</sup> برای یادگیری نیمه‌ناظر در حالت کلی کلی به وسیله یک شبکه عصبی پنج لایه انجام می‌شود. در مدل پنج لایه، لایه دوم وظیفه خوشبندی داده را دارد، لایه سوم عملیات ادغام را انجام می‌دهد و لایه چهارم لایه یادگیری تضمین می‌کند. در مورد کلاس داده اول و پنجم به ترتیب لایه ورودی و خروجی شبکه عصبی است.

در [۵] یک الگوریتم نیمه‌ناظر دیگر برای شناسایی اجزای صحنه معرفی شده است. در این مقاله کونگ<sup>۴</sup> و همکارانش از گراف دوطرفه برای بررسی میزان شباهت بین داده‌ها استفاده کرده‌اند و بر اساس آن یادگیری متربیک را انجام می‌دهند. از داده‌های برچسبدار و داده‌های بدون برچسب با امتیاز بالا جهت به روز رسانی یادگیری متربیک استفاده شده است. الگوریتم معرفی شده یک الگوریتم برخط است.

در [۶] الگوریتم نیمه‌ناظری توسط فرید<sup>۵</sup> و همکارانش معرفی گردیده که مبتنی بر روش یادگیری جمعی<sup>۶</sup> است. روش یادگیری جمعی در حقیقت یک روش برون خط است که بر اساس رأی گیری جمعی در طبقه‌بندی، برچسب داده مشخص می‌شود. در این مقاله از روش درخت تصمیم برای طبقه‌بندی داده‌ها استفاده شده و با اصلاح این ساختار یک الگوریتم برخط مبتنی بر یادگیری ترکیبی ارائه شده است. برای انجام این

1. Leite
2. Concept Drift
3. Granular
4. Cong
5. Farid
6. Ensemble Learning

در (۱)،  $\zeta_t^m$  برجسب واقعی داده  $t$  ام برای کلاس  $m$  است و  $PS_t^m$  مقدار تخمینی شبکه نیمه‌ناظر برای همان داده و کلاس  $m$  است که این دو مقدار بر اساس (۲) و (۳) تعیین می‌شوند

$$\zeta_t^m = \begin{cases} \cdot & , l_t \neq \hat{m}_t \text{ or missing label} \\ 1 & , l_t = \hat{m}_t \end{cases} \quad (2)$$

$$PS_t^m = \sum_{c=1}^C w_c^m \times o_t^c \quad , \quad m = \{1, 2, \dots, M\} \quad (3)$$

در (۳)تابع  $o_t^c$  میزان شباهت داده واردشده با گره‌های لایه خوشبند را مشخص می‌کند و آن را با نام درجه فعال‌سازی<sup>۳</sup> می‌شناسیم. مقدار درجه فعال‌سازی برای هر گره  $c$  با استفاده از تابع گوسی که در (۴) آمده است محاسبه می‌گردد

$$o_t^c = \exp\left(-\frac{\|x_t - v_c\|^2}{\sigma_c^2}\right) \quad , \quad c \in \{1, \dots, C\} \quad (4)$$

که در آن پارامتر  $\sigma_c$  میانگین فاصله‌های گره  $c$  با کلیه گره‌های همسایه است و توسط (۵) محاسبه می‌شود

$$\sigma_c = \frac{\sum_{k \in Ne(c)} \|v_k - v_c\|}{|Ne(c)|} \quad (5)$$

به منظور بهینه‌سازی شبکه خودسازمانده پویا از بازخورد داده‌های برجسب‌دار، خطای گره‌ها بر اساس (۶) محاسبه می‌شود. لازم به یادآوری است که میزان خطای در شبکه خودسازمانده پویا، پارامتری است که میزان گسترش گره‌ها در این شبکه تعیین می‌کند

$$E_{BMU(t)} = \begin{cases} \cdot & , l_t = \hat{m}_t \\ \frac{\sqrt{D}}{2} & , l_t \neq \hat{m}_t \\ \|x_t - v_{BMU(x_t)}\|^2 & , \text{missing label} \end{cases} \quad (6)$$

$$, \quad m = \{1, 2, \dots, M\}$$

در این رابطه  $l_t$  مشخص کننده برجسب واقعی داده واردشده با شبکه در زمان  $t$  است و مقدار  $\hat{m}_t$  از (۷) به دست می‌آید

$$\hat{m}_t = \operatorname{Argmax}_m PS_t^m \quad , \quad m = \{1, 2, \dots, M\} \quad (7)$$

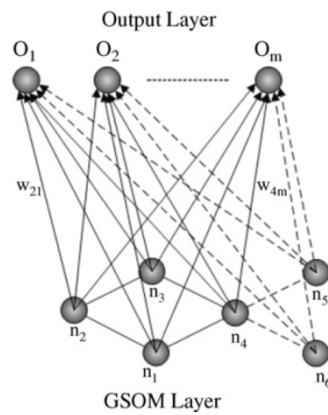
## ۲-۲ یادگیری حداقلی

روش یادگیری حداقلی اولین بار در سال ۲۰۰۴ توسط هوانگ<sup>۴</sup> معرفی گردید<sup>[۹]</sup> که این روش یک الگو برای شبکه‌های عصبی معرفی می‌کند و به کمک آن می‌توان به راحتی و در زمان بسیار کم و بدون محاسبه پارامترهای لایه مخفی به خوبی تابع هدف را تقریب زد. این روش با حداقل کردن فاصله خطای بین دو مرحله از الگوریتم، سرعت همگرایی را حداقل می‌کند. تعیین تعداد مراکز لایه مخفی از جمله مسائل چالشی این روش است که وابسته به نوع داده‌ها است. در حالتی که شبکه عصبی از نوع RBF<sup>۵</sup> گوسی باشد، پارامترهای لایه مخفی شامل مرکز و عرض تابع گوسی گره‌ها است که در حالت معمول به صورت تصادفی تعیین می‌شوند.

2. Activation Degree

3. Huang

4. Radial Basis Function



شکل ۱: ساختار شبکه‌های خودسازمانده پویای نیمه‌ناظر [۸].

نیز بیان شده است. همان طور که در جدول نیز بیان شده، روش پیشنهادی این مقاله، یک روش یادگیری نیمه‌ناظر برخط است که بدون محاسبه پارامترهای شبکه خودسازمانده و با استفاده از روش یادگیری حداقلی، به طور توأم هم خوشبندی را بهبود می‌دهد و هم طبقه‌بندی داده را انجام می‌دهد. علاوه بر این، روش پیشنهادی برخلاف مدل اچسو، پارامترهای شبکه خودسازمانده را به طور تحلیلی و بهیه تعیین می‌کند و همچنین به دلیل استفاده از یادگیری حداقلی از سرعت اجرای بالایی برخوردار است. یادآوری می‌شود که روش اچسو [۸]، قابلیت بهبود خوشبندی و طبقه‌بندی داده‌های برخط را به طور توأم دارد و یک روش مبتنی بر شبکه خودسازمانده پویا است.

در فصل دوم، مقدمات لازم جهت الگوریتم پیشنهادی بیان می‌شود. در فصل سوم، الگوریتم پیشنهادی ارائه شده است. در فصل چهارم، نتایج آزمایش‌های انجام شده بر روی داده‌های مختلف آمده و در فصل پنجم، نتیجه‌گیری گفته شده است.

## ۲- مفاهیم اولیه

در این بخش مفاهیم اولیه لازم جهت ارائه الگوریتم پیشنهادی بیان می‌شود.

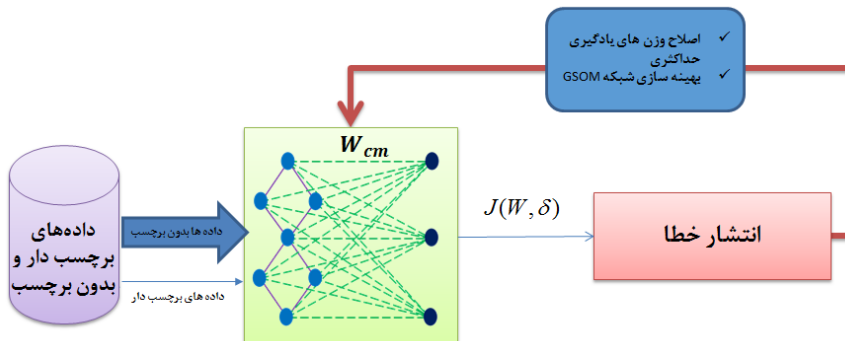
### ۱-۲ شبکه‌های خودسازمانده پویا

شبکه‌های خودسازمانده پویا<sup>۶</sup> (GSOM) یک روش یادگیری بدون ناظر برای خوشبندی و نمایش ساختار داده‌های برخط است. در سال ۲۰۰۸ اچسو و همکارانش با اضافه کردن یک لایه با ناظر بر بالای این شبکه، قابلیت نیمه‌ناظر را به آن اضافه کردند. شکل ۱ ساختار این مدل را نشان می‌دهد [۸].

در مدل نیمه‌ناظر معرفی شده، تعداد گره‌ها در لایه بالا برابر با تعداد کلاس‌های است ( $M$ ) و تعداد گره‌ها در لایه پایین به تعداد خوشبندی است ( $K$ ). بین دو لایه، اتصال کاملی از وزن‌ها وجود دارد که با  $w^{cm}$  نمایش داده می‌شود. هدف آن است این وزن‌ها به گونه‌ای آموزش داده شوند که با واردشدن داده به لایه خوشبند، نزدیک‌ترین گره به داده فعال و سپس بر اساس وزن بین دو لایه، کلاس مناسب برای داده مشخص گردد. آموزش وزن‌های بین دو لایه توسط داده‌های برجسب‌دار و با استفاده از (۱) انجام می‌شود

$$\Delta w^{cm} = \eta \times (\zeta_t^m - PS_t^m) \times o_c \quad (1)$$

1. Growing Self Organizing Map



شکل ۲: ساختار روش پیشنهادی.

انجام دهد.

### ۱-۳ ساختار روش پیشنهادی

در این مقاله یک روش نیمه‌ناظر برخط مبتنی بر شبکه خودسازمانده پویا و یادگیری حداقلی ارائه می‌شود. روش پیشنهادی از شبکه خودسازمانده پویا برای خوشبندی داده‌های بدون برچسب و از روش یادگیری حداقلی برای طبقه‌بندی داده‌های برچسبدار استفاده می‌شود. ساختار شبکه خودسازمانده به طور برخط شکل می‌گیرد. هنگامی که داده برچسبدار وارد سیستم می‌شود، یادگیری حداقلی با تعیین مراکز لایه مخفی خود به وسیله گره‌های شبکه خودسازمانده پویا عملیات طبقه‌بندی را انجام می‌دهد. پس از عملیات طبقه‌بندی، از خطای حاصل از آن هم برای بهبود یادگیری حداقلی و هم برای بهینه‌سازی شبکه خودسازمانده پویا استفاده می‌شود. شکل ۲ ساختار روش پیشنهادی را نشان می‌دهد.

دلیل ارائه این پیشنهاد این است که شبکه خودسازمانده که بر اساس داده‌های بدون برچسب شکل می‌گیرد مراکزی را به ما معروفی می‌کند که در آنجا تجمعی از داده‌ها وجود دارد. بنابراین این مراکز، نقاط بهتری نسبت به حالت تعیین مراکز به صورت تصادفی است. از طرف دیگر، از خطای منتشرشده در لایه طبقه‌بند برای گسترش بهینه در لایه خوشبند استفاده خواهد شد. بدین ترتیب یک سیستم نیمه‌ناظر برخط مبتنی بر یادگیری حداقلی به وجود می‌آید که قادر است از مزایای یادگیری حداقلی و شبکه خودسازمانده به طور توأم استفاده نماید.

همان طور که قبلاً هم گفته شد، تعیین تعداد و محل مراکز در مدل یادگیری حداقلی به عنوان یک چالش مطرح است و چنانچه این مراکز به درستی تعیین نشوند سیستم یادگیری دچار بیش‌برازش<sup>۱</sup> یا کم‌برازش<sup>۲</sup> می‌شود. بنابراین در روش پیشنهادی که تعداد و محل مراکز توسط شبکه خودسازمانده پویا تعیین می‌گردد، این مشکل برطرف می‌گردد.

### ۲-۳ تحلیل همگایی روش پیشنهادی

به منظور بررسی همگایی روش پیشنهادی، در این بخش با استفاده از تعاریف شبکه خودسازمانده پویا و روش یادگیری حداقلی، شرایط و سرعت همگایی را بررسی می‌نماییم.

**تعریف ۱:** خطای را در لحظه  $n$  ام به فرم (۱۲) تعریف می‌کنیم که در آن  $\zeta$  تابع هدف و  $PS_n$  مقدار تخمین شبکه GSOM است

$$e_n = \zeta - PS_n \quad (12)$$

2. Over Training
3. Under Training

در ماشین یادگیر حداقلی و برای شبکه عصبی سه‌لایه، برای به دست آوردن وزن لایه خروجی ( $\beta$ ) از (۸) تا (۱۰) استفاده می‌شود

$$\beta = H^+ T \quad (8)$$

$$H^+ = (H^T H)^{-1} H^T \quad (9)$$

$$\tilde{\beta} = (H^T H)^{-1} H^T T \quad (10)$$

که در آن  $H$  از (۱۱) به دست می‌آید و  $T$  بردار برچسب، داده‌های برچسبدار است

$$H(w_1, \dots, w_{\hat{N}}, b_1, \dots, b_{\hat{N}}, x_1, \dots, x_N) = \begin{bmatrix} g(w_1 x_1 + b_1) & \dots & g(w_{\hat{N}} x_1 + b_{\hat{N}}) \\ & \dots & \dots \\ g(w_1 x_N + b_1) & \dots & g(w_{\hat{N}} x_N + b_{\hat{N}}) \end{bmatrix} \quad (11)$$

ماتریس  $H$  ماتریس خروجی لایه مخفی نامیده می‌شود.  $b$  و  $w$  پارامترهای تابع لایه مخفی هستند و در حالت معمول به طور تصادفی تعیین می‌شوند.

### ۳- روش پیشنهادی

هدف این مقاله ارائه یک راهکار نیمه‌ناظر خودسازمانده پویای مبتنی بر روش یادگیری حداقلی<sup>۱</sup> است. به دلیل زیر روش پیشنهادی مورد نیاز است:

- بیشتر روش‌های نیمه‌ناظر موجود نیاز دارند تمام داده‌های یادگیری را تا پایان الگوریتم در حافظه نگهداری کنند و بنابراین در این روش‌ها حافظه زیادی استفاده می‌شود. همچنین برای به روز رسانی اطلاعات کلاس‌ها و خوشبندی نیاز است هر بار تمامی این اطلاعات پردازش شوند. بنابراین در این روش‌ها علاوه بر حافظه، نیاز به محاسبات زیاد و تکراری است.

- پاسخ‌گویی سریع و دقیق از جمله ویژگی‌های مهم برای روش‌های نیمه‌ناظر است. بیشتر روش‌های موجود یا سریع نیستند و یا دیر همگرا می‌شوند و بنابراین نمی‌توانند در زمان کم پاسخ قابل قبولی را ارائه کنند.

- بیشتر روش‌های نیمه‌ناظر ذاتاً قابلیت برخط‌بودن را ندارند و به همین دلیل داده‌ها را به صورت تکه‌تکه ذخیره کرده و در اختیار الگوریتم قرار می‌دهند.

در این مقاله قصد داریم جهت پاسخ به نیازهای گفته شده، روشی را ارائه کنیم که بتواند به صورت برخط و بهینه عملیات یادگیری را

$$\|e_n\| = \left\| e_{n-1} - \frac{e_{n-1} O_n^T O_n}{O_n^T O_n} \right\| \quad (۳۲)$$

$$\|e_n\| = \|e_{n-1} - e_{n-1}\| = . \quad (۳۳)$$

بنابراین همگرایی اثبات می‌گردد.

### ۳-۳ یادگیری حداکثری ترتیبی در شبکه خودسازمانده پویا

یادگیری حداکثری از جنبه‌های مختلفی دسته‌بندی شده است. از نظر معماری شبکه، یادگیری حداکثری به دو دسته معماري ثابت یا روش پایه‌ای<sup>۱</sup> و معماري افزایشی<sup>۲</sup> تقسیم می‌شود. از نظر داده‌های در دسترس، روش یادگیری افزایشی به دو دسته ترتیبی<sup>۳</sup> و دسته‌ای<sup>۴</sup> تقسیم می‌شود. در روش یادگیری افزایشی دسته‌ای، همه داده‌های یادگیری در آغاز کار در دسترس هستند و در روش یادگیری افزایشی ترتیبی، داده‌های یادگیری در ابتدا وجود ندارند و به صورت یکی‌یکی به سیستم وارد می‌شوند. از آنجایی که در این مقاله فرض می‌شود که داده‌ها به صورت برخط به سیستم وارد می‌شوند، بنابراین روش یادگیری حداکثری افزایشی ترتیبی برای مسئله مناسب است که این روش برای محاسبه سریع ماتریس ضرایب ارائه شده که در ادامه به بررسی آن برای شبکه نیمه‌ناظر مبتنی بر یادگیری حداکثری می‌پردازیم.

در مدل نیمه‌ناظر خودسازمانده پویا، ضرایب بین دو لایه را وزن لایه خروجی و سطح فعال سازی را برابر باتابع RBF گوسی از مدل یادگیری حداکثری در نظر می‌گیریم. بنابراین برای به دست آوردن وزن بین لایه‌ای مدل نیمه‌ناظر به روش حداکثری ترتیبی با استفاده از (۸) تا (۱۱) داریم

$$w = o^+ T \quad (۳۴)$$

$$o^+ = (o^T o)^{-1} o^T \quad (۳۵)$$

$$w = (o^T o)^{-1} o^T T \quad (۳۶)$$

به دلیل این که ایجاد ماتریس  $w$  پس از ورود هر داده برچسب‌دار زمان‌بر است و به منظور کاهش محاسبات که در روش‌های برخط از اهمیت بالایی برخوردار است، در ادامه نحوه محاسبه ماتریس  $w$  به صورت مرحله‌ای بیان می‌شود.

اگر فرض کنیم  $N$  داده برچسب‌دار داریم و ساختار داده‌ها به صورت  $(x, t)$  است آن گاه اگر اولین دسته از داده‌های ورودی به سیستم را به صورت  $N_1 = \{(x_i, t_i)\}_{i=1}^{N_1}$  نشان دهیم، بر اساس (۳۵) ماتریس  $H$  به صورت زیر محاسبه می‌شود

$$o_1 = \begin{bmatrix} G(a_1, b_1, X_1) & \dots & G(a_{\tilde{N}}, b_{\tilde{N}}, X_1) \\ \dots & \dots & \dots \\ G(a_1, b_1, X_{N_1}) & \dots & G(a_{\tilde{N}}, b_{\tilde{N}}, X_{N_1}) \end{bmatrix} \quad (۳۷)$$

$$T_1 = \begin{bmatrix} t_1^T \\ \dots \\ t_{N_1}^T \end{bmatrix} \quad (۳۸)$$

1. Basic
2. Incremental
3. Online Sequential
4. Batch

قضیه: چنانچه تابع درجه فعال سازی (رابطه (۴))، تابع تکه‌ای پیوسته انتگرال‌پذیر،  $R^d \rightarrow R$  و  $\int_R O_n(x) dx \neq 0$  باشد آن گاه برای هر گره GSOM حداکثر همگرایی در صورتی به دست می‌آید که

$$w_n = \frac{\langle e_{n-1}, o_n \rangle}{\|o_n\|^r} \quad (۱۳)$$

اثبات: اگر بین هر دو مرحله خطای  $\|e_{n-1}\|^r$  و  $\|e_n\|^r$  تغییر بسیار شدیدی داشته باشد در این صورت به نظر می‌رسد تابع  $PS_n$  به سرعت به سمت  $\zeta$  میل می‌کند

$$\Delta_n = \|e_{n-1}\|^r - \|e_n\|^r \quad (۱۴)$$

$$\Delta_n = \|e_{n-1}\|^r - \left\| \zeta - \sum_{i=1}^n w_i o_i \right\|^r \quad (۱۵)$$

$$\Delta_n = \|e_{n-1}\|^r - \left\| \zeta - (PS_{n-1} + w_n o_n) \right\|^r \quad (۱۶)$$

$$\Delta_n = \|e_{n-1}\|^r - \left\| \zeta - PS_{n-1} - w_n o_n \right\|^r \quad (۱۷)$$

$$\Delta_n = \|e_{n-1}\|^r - \left\| e_{n-1} - w_n o_n \right\|^r \quad (۱۸)$$

$$\Delta_n = \|e_{n-1}\|^r - \langle e_{n-1} - w_n o_n, e_{n-1} - w_n o_n \rangle \quad (۱۹)$$

$$\Delta_n = \|e_{n-1}\|^r - \|e_{n-1}\|^r + 2w_n \langle e_{n-1}, o_n \rangle - w_n^r \|o_n\|^r \quad (۲۰)$$

$$\Delta_n = 2w_n \langle e_{n-1}, o_n \rangle - w_n^r \|o_n\|^r \quad (۲۱)$$

برای حداقل سازی  $\Delta$  نسبت به  $w$  باستی (۲۲) برقرار باشد، بر این اساس داریم

$$\frac{\partial \Delta_n}{\partial w_n} = . \quad (۲۲)$$

$$\frac{\partial \Delta_n}{\partial w_n} = 2w_n \langle e_{n-1}, o_n \rangle - w_n^r \|o_n\|^r = . \quad (۲۳)$$

$$\Delta_n = 2w_n \langle e_{n-1}, o_n \rangle - w_n^r \|o_n\|^r = . \quad (۲۴)$$

$$\Rightarrow w_n = \frac{\langle e_{n-1}, o_n \rangle}{\|o_n\|^r} \quad (۲۵)$$

تا اینجا وزن بهینه را برای بیشترین کاهش خطای به دست آورده‌یم. برای اثبات همگرایی لازم است (۲۶) برقرار باشد

$$\lim_{n \rightarrow \infty} \|e_n\| = \lim_{n \rightarrow \infty} \|\zeta - PS_n\| = . \quad (۲۶)$$

اثبات: طبق تعریف ۱ داریم

$$e_n = \zeta - PS_n \quad (۲۷)$$

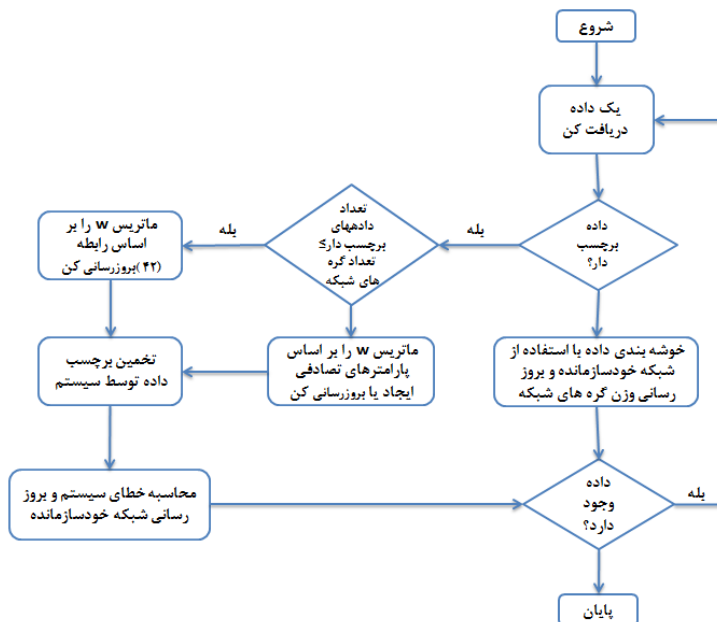
$$\|e_n\| = \left\| \zeta - \left( \sum_{i=1}^n w_i o_i \right) \right\| \quad (۲۸)$$

$$\|e_n\| = \left\| \zeta - \left( \sum_{i=1}^{n-1} w_i o_i + w_n o_n \right) \right\| \quad (۲۹)$$

$$\|e_n\| = \|(\zeta - PS_{n-1}) - w_n o_n\| \quad (۳۰)$$

با جایگذاری  $e_{n-1}$  از تعریف ۱ و استفاده از نتیجه (۲۵) داریم

$$\|e_n\| = \left\| e_{n-1} - \frac{\langle e_{n-1}, o_n \rangle}{\|o_n\|^r} o_n \right\| \quad (۳۱)$$



شکل ۳: الگوریتم یادگیری نیمه‌ناظر خودسازمانده مبتنی بر یادگیری حداقلی.

بیش می‌آید: حالت اول هنگامی است که تعداد داده‌های برچسب‌دار کمتر از تعداد گره‌های شبکه خودسازمانده پویا است. در این حالت بردار  $W$  با استفاده از پارامترهای تصادفی ایجاد یا به روز رسانی می‌شود. همچنین تعداد گره‌های لایه مخفی از روش یادگیری حداقلی برابر با تعداد داده‌های برچسب‌دار موجود در نظر گرفته می‌شود. حالت دوم هنگامی است که تعداد داده‌های برچسب‌دار بزرگ‌تر یا مساوی تعداد گره‌های شبکه خودسازمانده باشد. در این شرایط بردار  $W$  بر اساس (۴۲) محاسبه می‌شود. بعد از محاسبه وزن هر کلاس برای داده ورودی ( $w$ )، برچسب تخمینی سیستم برای داده برچسب‌دار ورودی محاسبه می‌گردد. سپس میزان خطای حاصل از تفاضل برچسب تخمینی و برچسب واقعی محاسبه می‌گردد و به لایه خوشبند بازخورد داده می‌شود. بر اساس بازخورد داده‌شده از لایه طبقه‌بند، میزان خطای گره برنده از شبکه خودسازمانده پویا به روز رسانی می‌گردد. نکته قابل توجه دیگر این است که هنگام پیاده‌سازی روش پیشنهادی دو روش برای مقداردهی به پارامتر  $\delta$  وجود دارد. بر اساس پیشنهاد هوانگ می‌توان مقدار تصادفی برای  $\delta$  در نظر گرفت [۹] یا بر اساس پیشنهاد لین<sup>۱</sup> برای آن مقدار  $\delta = m^{-(1/(r+d)+\varepsilon)}$  را در نظر گرفت [۱۱]. در فصل چهارم به منظور آزمایش پیشنهادها از هر دو روش استفاده شده و نتیجه گزارش خواهد شد.

### ۵-۳ جمع‌بندی روش پیشنهادی

روش‌های نیمه‌ناظر موجود دارای اشکالاتی هستند که در ابتدای بخش ۳ به آنها اشاره شد. روش پیشنهادی این مقاله به دلایل زیر تا حد امکان این اشکالات را برطرف نموده است:

- روش پیشنهادی به دلیل استفاده از شبکه خودسازمانده پویا، تنها اطلاعات گره‌های شبکه خودسازمانده پویا را نگهداری می‌کند. بنابراین نیاز به نگهداری همه داده‌های یادگیری ندارد و در نتیجه حافظه مصرفی آن کم است. همچنین برای به روز رسانی وزن گره‌های شبکه خودسازمانده پویا، با ورود هر داده محاسبات بسیار کمی انجام می‌شود. بنابراین روش پیشنهادی علاوه بر حافظه کم، دارای سرعت پردازش مناسب نیز است.

1. Lin

متغیر  $K$  را به صورت زیر تعریف می‌کنیم

$$K = o^T o \quad (۴۹)$$

بنابراین وزن لایه خروجی بر اساس روش یادگیری حداقلی (رابطه (۳۲)) برای داده‌های ورودی به صورت زیر به دست می‌آید

$$w^{(i)} = K_i^{-1} o^T T \quad (۴۰)$$

حال چنانچه دسته دیگری از داده‌ها مانند  $N_i = \{(x_i, t_i)\}_{i=N}^{N+N_i}$  وارد شود آن گاه وزن لایه خروجی از (۴۱) به دست می‌آید

$$w^{(i)} = K_i^{-1} \begin{bmatrix} o_i \\ o_i \end{bmatrix}^T \begin{bmatrix} T \\ T \end{bmatrix} \quad (۴۱)$$

که ضریب  $K$  به صورت زیر است

$$K_i = \begin{bmatrix} o_i \\ o_i \end{bmatrix}^T \begin{bmatrix} o_i \\ o_i \end{bmatrix} \quad (۴۲)$$

$$K_i = \begin{bmatrix} o_i^T & o_i^T \end{bmatrix} \begin{bmatrix} o_i \\ o_i \end{bmatrix} = K_i + o_i^T o_i \quad (۴۳)$$

در نهایت چنانچه  $P_{k+1} = K_{k+1}^{-1}$  در نظر بگیریم و روابط را به صورت بازنگشتی بازنویسی کنیم، خواهیم داشت

$$\begin{aligned} P_{k+1} &= P_k - P_k o_{k+1}^T (I + o_{k+1} P_k o_{k+1}^T)^{-1} o_{k+1} P_k \\ w^{(k+1)} &= w^{(k)} + P_{k+1} o_{k+1}^T (T_{k+1} - o_{k+1} w^{(k)}) \end{aligned} \quad (۴۴)$$

نکته حائز اهمیت این است که در مرحله اول و هنگام محاسبه  $H$  نایاب تعداد داده‌های برچسب‌دار از تعداد گره‌های لایه مخفی کمتر باشد. همچنین در صورتی که تعداد داده‌ها زیاد باشد، می‌توان به جای محاسبه ضرب  $o^T o$ ، ضرب  $oo^T$  را با ملاحظه تمهدیاتی استفاده کرد [۱۰].

### ۴-۳ پیاده‌سازی روش پیشنهادی

شکل ۳ فلوچارت الگوریتم یادگیری نیمه‌ناظر خودسازمانده مبتنی بر یادگیری حداقلی را نشان می‌دهد. در این الگوریتم چنانچه داده برچسب‌دار نباشد، به وسیله شبکه خودسازمانده پویا عملیات خوشبندی برای آن انجام می‌شود و در صورتی که داده برچسب‌دار باشد دو حالت

جدول ۲: مشخصات مجموعه داده‌های مصنوعی و UCI استفاده شده برای ارزیابی.

نام نمونه‌ها	تعداد داده	تعداد خوش‌ها	تعداد ویژگی‌ها
۲۳۶	۲	۲	Two Ring
۳۰۰۰	۲	۲	Spiral
۱۵۰	۴	۳	Iris
۲۰۸	۶۰	۲	Sonar
۳۵۱	۳۴	۲	Ionosphere
۸۴۶	۱۸	۴	Vehicle
۴۱۷۷	۸	۳	Abalone
۵۰۰۰	۲۱	۳	Waveform

تنها از الگوریتم نیمه‌ناظر اچسو استفاده شده است [۸]. در این مقاله روش پیشنهادی را با نام<sup>۳</sup> ELSSGSOM و روش اچسو را با نام<sup>۴</sup> SSGSOM می‌شناسیم.

برای آزمایش الگوریتم‌های نیمه‌ناظر، ابتدا مجموعه‌ای با ترتیب تصادفی از داده‌های بدون برچسب و تعداد اندکی داده برچسب‌دار ایجاد می‌شود. سپس این مجموعه به هر الگوریتم عرضه شده و دقت الگوریتم‌ها محاسبه می‌گردد. در ادامه، رفتار فتحه تعداد داده‌های برچسب‌دار درون مجموعه افزایش می‌یابد و دقت الگوریتم‌ها مجدد محاسبه می‌شود. با افزایش تعداد داده‌های برچسب‌دار، انتظار می‌رود که دقت الگوریتم‌ها مورد آزمایش افزایش یابد. در این روش ارزیابی، نکته اصلی آن است که در هر دوره، مجموعه داده ایجادشده از داده‌های برچسب‌دار برای هر دو الگوریتم‌ها یکسان نگه داشته شود. با این کار مشخص می‌شود که با در اختیار داشتن اطلاعات یکسان، کدام الگوریتم توانسته است طبقه‌بندی بهتری را ارائه نماید. برای مجموعه اولیه برچسب‌دار، از ۵٪ داده برچسب استفاده خواهد شد و با شروع هر دوره جدید، مجموعه داده‌های برچسب‌دار ۵٪ افزایش می‌یابد و این کار تا زمانی که ۴۰٪ داده‌ها، برچسب‌دار شوند ادامه خواهد یافت [۳۳]. در شروع کار مقدار اولیه  $w$  به طور تصادفی تعیین می‌شود و همچون سایر تنظیمات مربوط به شبکه GSOM برای هر دو الگوریتم‌ها یکسان است.

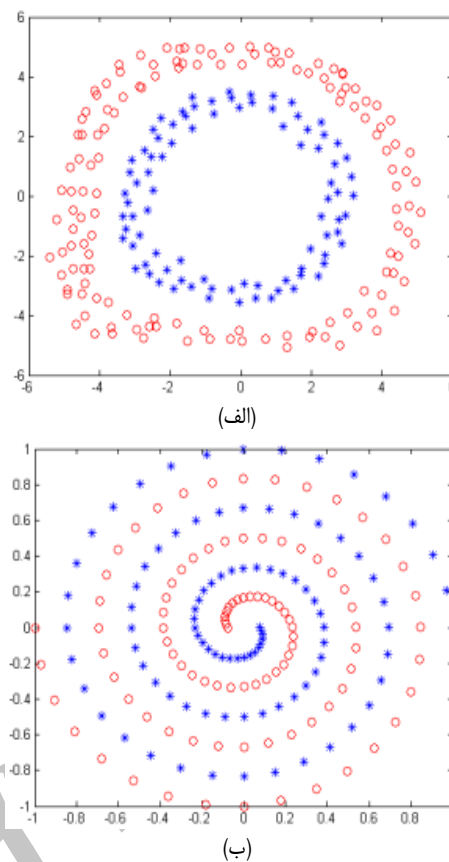
در ادامه ابتدا مجموعه داده‌های مورد استفاده معرفی می‌شوند و سپس نتایج اجرای الگوریتم پیشنهادی و الگوریتم رقیب بر روی این مجموعه داده‌ها نشان داده می‌شود. در آزمایش‌های انجام‌شده در بخش‌های ۳-۴ و ۴-۴ از داده‌های نرمال‌شده استفاده گردیده و همچنین مقدار ۵ به طور تصادفی تعیین شده و نتایج حاصل از متوسط ۵۰ بار اجرای الگوریتم‌ها است.

#### ۱-۴ معرفی مجموعه داده‌های استفاده شده

مجموعه داده‌های مصنوعی استفاده شده برای ارزیابی در شکل ۴ نشان داده شده است. در این دسته از داده‌ها، برای امر خوش‌بندی مجموعه داده حلزونی به علت شکل پیچیده و به شدت غیر محدب خود یک مجموعه داده سخت است. همچنین در جدول ۲، مجموعه داده‌های UCI مورد استفاده همراه با مشخصات کامل نشان داده شده است.

#### ۲-۴ معرفی معیارهای ارزیابی

معروف‌ترین معیار ارزیابی در یادگیری ماشین معیار دقت است. این معیار یکی از ساده‌ترین معیارهای ارزیابی در یادگیری ماشین است. مطابق



شکل ۴: ساختار مجموعه داده‌های مصنوعی استفاده شده برای ارزیابی، (الف) دو حلقة و (ب) حلزونی.

- سرعت روش پیشنهادی به دلیل حجم کم محاسبات در لایه خوش‌بند و همچنین سرعت بالای یادگیری حداقلی ترتیبی در لایه طبقه‌بند، نسبت به روش‌های دیگر برتری دارد. روش پیشنهادی به علت این که در لایه طبقه‌بند از یادگیری حداقلی ترتیبی استفاده می‌کند، سریع همگرا می‌شود (روش حداقلی ترتیبی همانند روش RLS عمل می‌کند و ثابت شده که روش RLS نسبت به روش LMS سریع‌تر همگرا می‌گردد [۱۲]). در نتیجه می‌تواند در زمان کم جواب قابل قبول ارائه کند.

- ساختار شبکه خودسازمانده به صورت برخط شکل می‌گیرد و از این نظر برای ورود داده‌ها به صورت برخط به سیستم بسیار مناسب است. بنابراین به دلیل این که روش پیشنهادی مبتنی بر شبکه خودسازمانده پویا و یادگیری حداقلی ترتیبی است، یک روش کاملاً برخط است.

در مجموع می‌توان گفت روش پیشنهادی، یک روش یادگیری نیمه‌ناظر، برخط و سریع است که نیاز به حافظه کمی دارد.

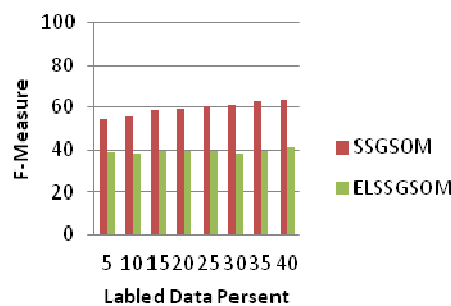
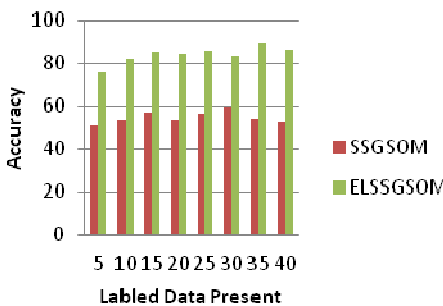
#### ۴-۴ ارزیابی و آزمایش

در این بخش با استفاده از معیارهای دقت<sup>۱</sup>، F-Measure<sup>۲</sup> و آنالیز مقاومت<sup>۳</sup> بر روی مجموعه داده‌های مصنوعی و UCI، به ارزیابی الگوریتم پیشنهادی می‌پردازیم. به دلیل این که روش پیشنهادی و روش اچسو [۸] تها الگوریتم‌هایی هستند که هم طبقه‌بندی داده و هم بهبود خوش‌بندی را انجام می‌دهند، بنابراین برای مقایسه الگوریتم پیشنهادی،

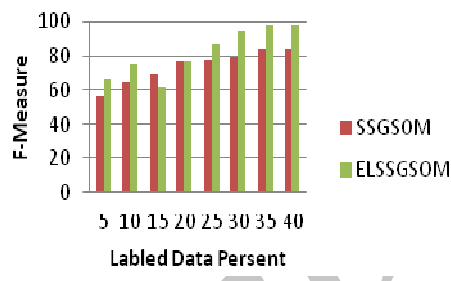
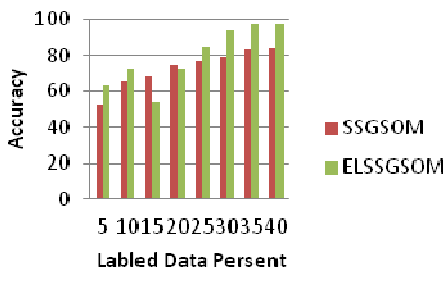
1. Accuracy
2. Robustness Analysis

3. Extreme Learning Semi Supervised GSOM

4. Semi Supervised GSOM



شکل ۵: نتایج اجرای دو الگوریتم بر روی مجموعه داده Spiral.



شکل ۶: نتایج اجرای دو الگوریتم بر روی مجموعه داده Two Ring.

استفاده از معیارهای درستی و یادآوری دارای این اشکال است که برای هر الگوریتم دو مقدار بازگردانده خواهد شد. این مسئله تصمیم‌گیری در مورد آن که کدام الگوریتم بهتر است را با مشکل مواجه می‌نماید. برای رفع این مشکل F-Measure مورد استفاده قرار می‌گیرد. این معیار از محاسبه میانگین همساز بین دو معیار درستی و یادآوری به صورت (۴۸) به دست می‌آید

$$FM_q = 2 \times \frac{PR_q \times RE_q}{PR_q + RE_q} \quad (48)$$

برای مقایسه کارایی و میزان برتری الگوریتم‌های مورد مقایسه از روشی به نام تحلیل مقاومت که توسط گنگ<sup>۴</sup> و همکارانش ارائه شده استفاده خواهد شد. در این روش میزان کارایی نسبی الگوریتم  $q$  برای یک مجموعه داده با استفاده از (۴۹) و به صورت نسبت صحت خوشبندی الگوریتم  $q$  به بیشترین میزان صحت در میان  $Q$  الگوریتم رقیب اجراسده بر روی مجموعه داده مورد نظر محاسبه می‌شود

$$RA_q = \frac{Acc_q}{\max Acc_j}, \quad \forall j \in \{1, 2, \dots, Q\} \quad (49)$$

### ۳-۴ نتایج ارزیابی بر روی مجموعه داده‌های مصنوعی

شکل ۵ و ۶ نتایج اجرای الگوریتم پیشنهادی و رقیب را بر روی دو مجموعه داده مصنوعی نشان می‌دهد. همان طور که در شکل مشخص

(۴۵) منظور از نرخ دقت الگوریتم  $q$ ، نسبت تعداد نمونه‌هایی که به طور صحیح خوشبندی شده‌اند به تعداد کل نمونه‌ها است

$$Acc_q = \frac{TP}{TP + TN + FP + FN} = \frac{TP}{|X|} \quad (45)$$

که در آن  $|X|$  نماینده تعداد عناصر و  $X$  مجموعه کل داده‌های مسئله است.  $TP$  بیانگر تعداد داده‌هایی است که دارای برچسب  $k$  هستند و در خوشبندی شده‌اند.  $TN$  بیانگر تعداد داده‌هایی است که دارای برچسب  $k$  نیستند و در خوشبندی نشده‌اند.  $FP$  نشان‌دهنده تعداد داده‌هایی است که دارای برچسب  $k$  هستند ولی در خوشبندی شده‌اند.  $FN$  نشان‌دهنده تعداد داده‌هایی است که دارای برچسب  $k$  هستند ولی در خوشبندی شده‌اند.

به علت سادگی و همچنین قابلیت تفسیر بالا، این معیار در بسیاری از زمینه‌ها خصوصاً یادگیری ماشین کاربرد زیادی یافته است اما این معیار توجه زیادی به تعداد پیش‌بینی‌های درست نموده و به اشتباهات مرتكب شده از سوی الگوریتم توجه اندازی می‌کند. برای رفع این مشکل از معیارهای درستی<sup>۱</sup> و یادآوری<sup>۲</sup> استفاده می‌شود. این دو معیار بیشتر در بازیابی اطلاعات<sup>۳</sup> و شناسایی الگو به کار می‌روند و به علت آن که به نوعی مکمل یکدیگر هستند، معمولاً با هم به کار می‌روند. معیار درستی، درصدی از داده‌های بازیابی شده است که واقعاً در خوشبندی نظر قرار دارند و معیار یادآوری، درصدی از داده‌های خوشبندی مورد نظر است که توسط الگوریتم بازگردانده شده است. همین طور که از تعریف دو معیار برمی‌آید هر دو مبتنی بر بازیابی اطلاعات از یک منبع پایه‌گذاری شده‌اند. این دو معیار در شناسایی الگو به صورت (۴۶) و (۴۷) تعریف می‌گردند

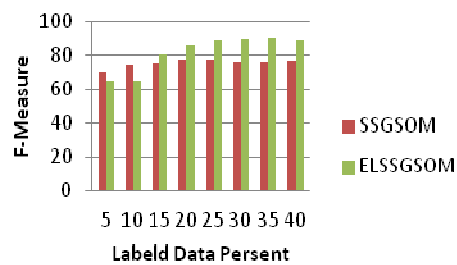
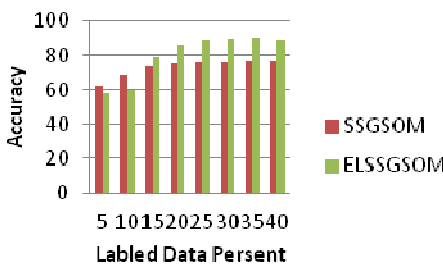
$$PR_q = \frac{TP}{TP + FP} \quad (46)$$

$$RE_q = \frac{TP}{TP + FN} \quad (47)$$

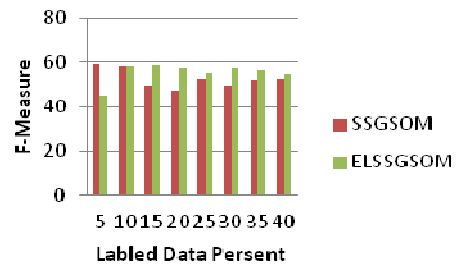
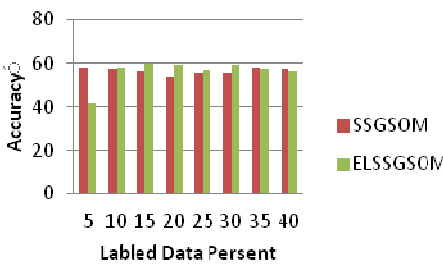
1. Precision

2. Recall

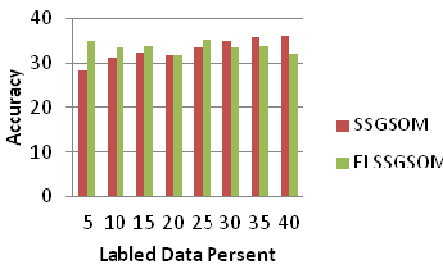
3. Information Retrieval



شکل ۷: نتایج اجرای دو الگوریتم بر روی مجموعه داده Iris.



شکل ۸: نتایج اجرای دو الگوریتم بر روی مجموعه داده Ionosphere.



شکل ۹: نتایج اجرای دو الگوریتم بر روی مجموعه داده Vehicle.

کمتر است که دلیل آن مشکل داده‌های کم و پارامترهای تصادفی در الگوریتم پیشنهادی است (شکل ۸). با انتخاب مجموعه داده‌های بزرگ‌تر، مشکل داده‌های کم و پارامترهای تصادفی در الگوریتم پیشنهادی برطرف می‌شود. در این شرایط الگوریتم پیشنهادی در شرایطی از الگوریتم رقیب بهتر است که تعداد داده‌های برچسب‌دار کمتر باشد. شکل ۹ نتایج بررسی را بر روی مجموعه داده Vehicle نشان می‌دهد.

#### ۴-۵ بررسی‌های بیشتر و بررسی سرعت

در این بخش علاوه بر بررسی مجموعه داده‌های بیشتر و بزرگ‌تر، به بررسی سرعت اجرای الگوریتم پیشنهادی و رقیب در عمل می‌پردازیم. برای انجام این کار در شرایط یکسان (پارامترهای شبکه GSOM، مقدار اولیه  $w$  و ...) هر الگوریتم را ۳۵ بار بر روی داده‌های طبقه‌بند انجام داده و سپس متوسط پارامترهای به دست آمده، گزارش شده است. حجم داده‌های برچسب‌دار در این سناریو  $\approx 30\%$  از کل داده‌های هر مجموعه داده است. سخت‌افزار مورد استفاده برای اجرا، یک دستگاه کامپیوتر شخصی با پردازنده intel i7 Q7700 GHz با فرکانس ۱/۷۳ و RAM ۶ GB است.

در این بخش مقدار اولیه برای  $\delta$  بر اساس پیشنهاد لین برابر با  $\delta = m^{-(1/(r+d)+\epsilon)}$  در نظر گرفته شده است [۱۱].

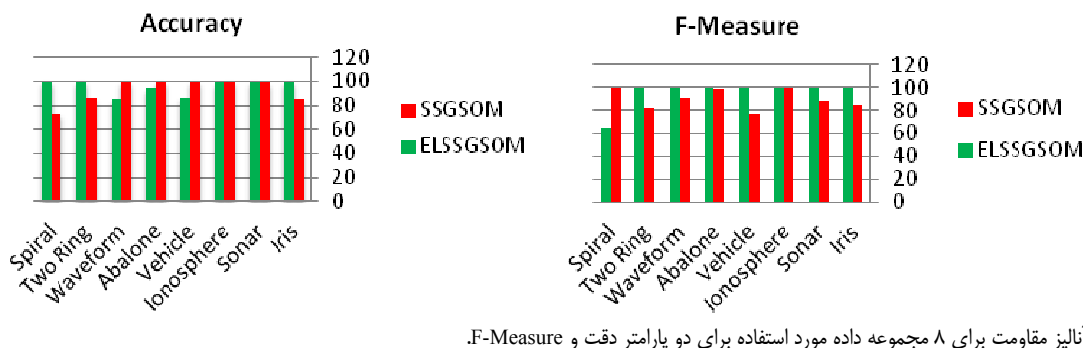
با مشاهده نتایج به دست آمده در جدول ۳، مشخص است که روش پیشنهادی از نظر پارامتر F-Measure کامل است. همچنین این برتری با زمان کمتر به دست می‌آید و از نظر پارامتر دقت نیز نتایج بسیار به هم نزدیک است. لازم به ذکر است که بر اساس پیشنهاد لین باستی تعداد گره‌ها در روش

است، دقت الگوریتم پیشنهادی بر روی هر دو مجموعه داده نسبت به الگوریتم رقیب برتری دارد (شکل ۷). همچنین F-Measure الگوریتم پیشنهادی برای مجموعه داده two ring نیز برتری دارد اما به دلیل این که مجموعه داده Spiral غیر خطی است و همچنین تعداد داده‌های این مجموعه نیز کم است، کارایی الگوریتم پیشنهادی نسبت به الگوریتم رقیب کمتر بوده و در این شرایط میزان اشتباہات الگوریتم پیشنهادی نسبت به الگوریتم رقیب بیشتر است.

#### ۴-۶ نتایج ارزیابی بر روی مجموعه داده‌های UCI

در این بخش، ابتدا مجموعه داده Iris مورد ارزیابی قرار گرفته است. در این مجموعه داده، هم معیار دقت و هم F-Measure الگوریتم پیشنهادی نسبت به الگوریتم رقیب برتری دارد. تنها در حالتی که داده‌های با برچسب  $5\%$  و  $10\%$  است، کارایی الگوریتم پیشنهادی کمی از الگوریتم رقیب کمتر است و این به دلیل آن است که در شروع کار الگوریتم پیشنهادی و تا هنگامی که تعداد داده‌های برچسب‌دار از تعداد گره‌های شبکه خودسازمانده کمتر باشد، الگوریتم پیشنهادی به صورت کاملاً تصادفی عمل می‌کند. ما در این مقاله نام این مشکل داده‌های کم و پارامترهای تصادفی می‌نامیم. نکته حائز اهمیت این است که با افزایش تعداد داده‌های برچسب‌دار کارایی الگوریتم پیشنهادی افزایش پیدا می‌کند.

مجموعه داده بعدی که مورد بررسی قرار گرفته است، مجموعه داده Ionosphere است. نتایج بررسی مجموعه داده Ionosphere می‌دهد که الگوریتم پیشنهادی بر الگوریتم رقیب برتری نسبی دارد و تنها در حالتی که داده‌های برچسب‌دار  $5\%$  است، کارایی الگوریتم پیشنهادی



شکل ۱۰: نتایج آنالیز مقاومت برای ۸ مجموعه داده مورد استفاده برای دو پارامتر دقت و F-Measure

جدول ۳: نتایج به دست آمده برای مجموعه داده مختلف و مقایسه زمان اجرای الگوریتم‌ها.

زمان اجرا	F-Measure	دقت	الگوریتم	مجموعه داده
$3.020094e^{-11}$	59/55	52/80	SSGSOM	Spiral
$2.908465e^{-11}$	67/48	53/19	ELMGSOM	Two Ring
$6.273166e^{-11}$	66/97	62/17	SSGSOM	Waveform
$5.762781e^{-11}$	66/55	61/55	ELMGSOM	Abalone
$2.314561e^{+00}$	29/22	32/57	SSGSOM	Vehicle
$1.971411e^{+00}$	37/93	28/15	ELMGSOM	Ionosphere
$6.433007e^{+00}$	48/79	39/26	SSGSOM	Sonar
$3.269975e^{+01}$	49/82	36/97	ELMGSOM	Iris
$1.449995e^{+2}$	43/15	42/14	SSGSOM	Vehicle
$1.259348e^{+2}$	47/52	35/73	ELMGSOM	Ionosphere

- [2] V. Macario and F. D. A. de Carvalho, "An adaptive semi-supervised fuzzy clustering algorithm based on objective function optimization," *Proc. IEEE Int. Conf. on Fuzzy Systems ,FUZZIEEE*, 8 pp., 10-15 Jun. 2012.
- [3] M. Halkidi, M. Spiliopoulou, and A. Pavlou, "A semi-supervised incremental clustering algorithm for streaming data," in *Proc. of the 16th Pacific-Asia Conf. on Advances in Knowledge Discovery and Data Mining, PAKDD'12*, vol. 1, pp. 578-590, 2012.
- [4] D. Leite, P. Costa, and F. Gomide, "Evolving granular neural network for semi-supervised data stream classification," in *Proc. Int. Joint Conf. on Neural Networks, IJCNN'10*, pp. 1877-1884, Barcelona, Spain, 18-23 Jun. 2010.
- [5] Y. Cong, J. Liu, J. Yuan, and J. Luo, "Self-supervised online metric learning with low rank constraint for scene categorization," *IEEE Trans. Image Process.*, pp. 3179-3191, vol. 22, no. 8, Aug. 2013.
- [6] D. M. Farid, et al., "An adaptive ensemble classifier for mining concept drifting data streams," *Expert Syst. Appl.*, vol. 40, no. 15, pp. 5895-5906, 1 Nov. 2013.
- [7] K. Li, J. Zhang, H. Xu, S. Luo, and H. Li, "A semi-supervised extreme learning machine method based on co-training," *J. of Computational Information Systems*, vol. 9, no. 1, pp. 207-214, Jan. 2013.
- [8] A. Hsu and S. K. Halgamuge, "Class structure visualization with semi-supervised growing self-organizing maps," *Neurocomputing*, vol. 71, no. 16-18, pp. 3124-3130, Oct. 2008.
- [9] G. B. Huang, Q. Y. Zhu, and C. K. Siew, "Extreme learning machine: a new learning scheme of feedforward neural networks," in *Proc. 2004 IEEE Int. Joint Conf. on Neural Networks*, vol. 2, pp. 985-990, 25-29 Jul. 2004.
- [10] L. Guo, J. H. Hao, and M. Liu, "An incremental extreme learning machine for online sequential learning problems," *Neurocomputing*, vol. 128, no. 27, pp. 50-58, Mar. 2013.
- [11] S. Lin, X. Liu, J. Fang, and Z. Xu, *Is Extreme Learning Machine Feasible? A Theoretical Assessment (Part II)*, arXiv preprint arXiv:1401.6240, 2014.
- [12] S. S. Haykin, *Adaptive Filter Theory*, Pearson Education India, 2008.
- [13] N. Grira, M. Crucianu, and N. Boujemaa, "Active semi-supervised fuzzy clustering," *Pattern Recognition*, vol. 41, no. 5, pp. 1834-1844, May 2008.
- [14] X. Geng, D. C. Zhan, and Z. H. Zhou, "Supervised nonlinear dimensionality reduction for visualization and classification," *IEEE Trans. on Systems, Man, and Cybernetics, Part B: Cybernetics*, vol. 35, no. 6, pp. 1098-1107, Dec. 2005.

یادگیری حداکثری بایستی باشد که در آن  $d/2 \leq r \leq d$  باشد که در آن  $d$  ابعاد داده است [۱۱] اما با آزمایش‌های انجام شده در این مقاله با تنظیم تعداد گره‌ها به این مقدار نتایج مناسبی به دست نیامد. بنابراین تعداد گره‌ها برابر با تعداد گره‌های شبکه GSOM در نظر گرفته شد.

## ۶- نتایج آنالیز مقاومت

شکل ۱۰ آنالیز مقاومت برای مجموعه داده‌های بحث شده را در حالتی که ۳۰٪ از کل داده‌ها دارای برچسب است نشان می‌دهد. نتایج نشان می‌دهد که اگر میزان داده‌های برچسب دار افزایش یابد، کارایی الگوریتم پیشنهادی نسبت به الگوریتم رقیب افزایش می‌یابد که این را می‌توان به عنوان یک برتری برای الگوریتم پیشنهادی محسوب کرد. به بیان دیگر با افزایش داده‌های یادگیری، کارایی الگوریتم پیشنهادی نیز افزایش می‌یابد که نشان‌دهنده یادگیری بهتر الگوریتم پیشنهادی است.

## ۵- نتیجه‌گیری

در این مقاله برای اولین بار روش یادگیری نیمه‌ناظر خودسازمانده پویای مبتنی به یادگیری حداکثری ارائه گردید و ثابت شد که این الگوریتم همگرای است. سپس با استفاده از روش یادگیری حداکثری افزایشی ترتیبی که برای داده‌های برخط مناسب است، نحو محاسبه سریع ضرایب بین دو لایه، در مدل نیمه‌ناظر خودسازمانده پویا بیان گردید. ارزیابی الگوریتم پیشنهادی بر روی داده‌های مصنوعی و UCI نشان می‌دهد در شرایطی که تعداد داده‌های برچسب دار برای یادگیری کافی باشد الگوریتم پیشنهادی ضمن برخورداری از کارایی مناسب، دارای سرعت بالاتری نیز است.

## مراجع

- [1] X. Zhu and A. B. Goldberg, *Introduction to Semi-Supervised Learning*, Morgan & Claypool, 2009.

**سیدجواد سیدمهدوی چایک** در سال ۱۳۸۱ مدرک کارشناسی مهندسی برق الکترونیک خود را از صنعتی شریف و کارشناسی ارشد و دکتری مهندسی برق الکترونیک خود را بهترتب در سال‌های ۱۳۸۳ و ۱۳۸۹ از دانشگاه علم و صنعت دریافت نمود. ایشان در حال استادیار گروه مهندسی کامپیوتر دانشگاه آزاد اسلامی واحد مشهد می‌باشد و زمینه‌های علمی مورد علاقه نامبرده شامل طراحی سیستم‌های مطمئن، رایانش نرم و مدارهای مجتمع دیجیتال می‌باشد.

علی مهریزی در سال ۱۳۸۴ مدرک کارشناسی مهندسی کامپیوتر خود را از دانشگاه آزاد اسلامی واحد مشهد و در سال ۱۳۹۰ مدرک کارشناسی ارشد مهندسی کامپیوتر خود را از دانشگاه آزاد اسلامی واحد مشهد دریافت نمود. زمینه‌های علمی مورد علاقه نامبرده شامل موضوعاتی مانند الگوریتم‌های یادگیری، یادگیری نیمه‌ناظر، محاسبات نرم و بهینه‌سازی می‌باشد.

هادی صدوqi یزدی هم‌اکنون استاد گروه مهندسی کامپیوتر در دانشگاه فردوسی مشهد می‌باشد. ایشان در سال ۱۳۷۳ مدرک کارشناسی مهندسی برق خود را از دانشگاه فردوسی مشهد و کارشناسی ارشد و دکتری مهندسی برق را بهترتب در سال‌های ۱۳۷۵ و ۱۳۸۴ از دانشگاه تربیت مدرس دریافت نمود. زمینه‌های تحقیقاتی مورد علاقه ایشان عبارتند از: شناسایی آماری الگو، یادگیری ماشین، بینایی ماشین، پردازش سیگنال، داده کاوی و بهینه سازی.